

Étude de couvertures de réseaux de métro, application de l'homologie persistante et optimisation.

Elowan ; 10381

May 16, 2025

Trouver les zones les moins bien desservies par un réseau de métro

Les principales étapes :

- *Convertir* les données géographiques en espace métrique ;
- Créer une suite de formes géométriques à partir de cet espace ;
- Trouver les trous de ces formes.

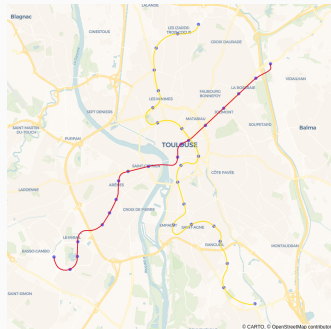
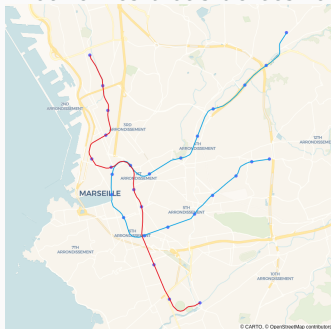


Figure 1: Lignes de métros (Marseille et Toulouse)

Plus en détail, reconnaître un trou : l'idée du lasso

Chercher à enrouter au lasso, puis réduire ces lassos sans jamais le rompre ou déchirer la forme.

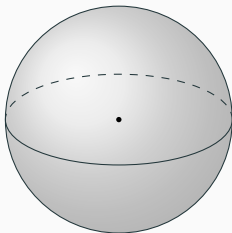


Figure 2: Un tore contenant deux trous et une sphère contenant 0 trou.

Définitions

Simplexe

Un simplexe σ de dimension k (ou k -simplexe) correspond à l'enveloppe convexe de $k + 1$ vecteurs non inclus dans un sous-espace affine de dimension $k - 1$.

Face

On dit que σ_i est une face de σ_j si et seulement si $\sigma_i \subset \sigma_j$ et la dimension de σ_i $\dim(\sigma_i)$ est égale à $\dim(\sigma_j) - 1$.

Complexe simplicial

Un ensemble de simplexes.

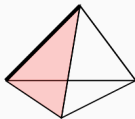


Figure 3: Exemple de complexe simplicial

Définitions

Filtration

Suite croissante pour l'inclusion de complexes simpliciaux.

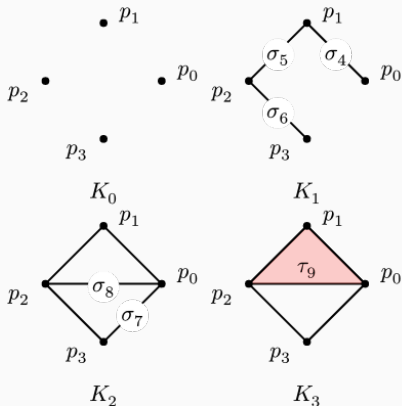


Figure 4: Exemple de filtration.

Définitions

Classe d'homologie

Elle représente un trou en dimension n .

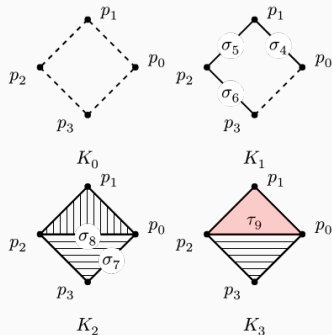
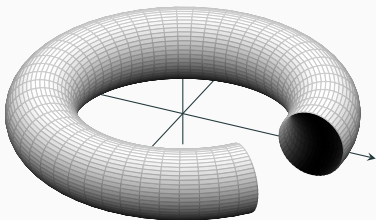


Figure 5: Le tore avec ces deux classes d'homologies et la filtration d'exemple avec en pointillé les classes d'homologies de dimension 0 et en hachuré celles de dimension 1.

Définition de la distance

Distance

On définit la distance d entre deux stations de metro x et y :

$$d(x, y) = \frac{1}{2}(\min(t_{\text{pied}}(x, y), t_{\text{voit}}(x, y)) + \min(t_{\text{pied}}(y, x), t_{\text{voit}}(y, x)))$$

Poids d'une station

La moyenne sur une semaine du temps d'attente en station.

Définition des complexes pondérés de Vietoris-Rips

Complexe Simplicial pondéré de Vietoris-Rips

On le définit au rang r , comme l'ensemble des simplexes

$(x_{i_0}, \dots, x_{i_k})$ tels que :

$$\begin{cases} \forall j \in [0, k], \text{poids}_{i_j} < r \\ \forall (j, l) \in [0, k]^2, d(x_{i_j}, x_{i_l}) + \text{poids}_{i_j} + \text{poids}_{i_l} < 2r \end{cases}$$

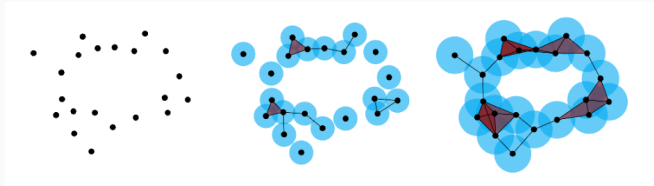


Figure 7: Image repr les vietoris rips, tiré de *Persitent homology for resource coverage: A case study of access to polling sites*

Préparatif de l'algorithme (1/2): Ordre total sur les simplexes

Soient une filtration $K_0 \subset K_1 \subset \dots \subset K_p$ et l'ensemble S de tous les simplexes apparaissant dans la filtration. On indice S de sorte que pour tout σ_i et σ_j de S :

$$\left. \begin{array}{l} \text{Si } \sigma_i \in K_{k_i} \text{ et } \sigma_j \in K_{k_j} \text{ avec } k_i < k_j \\ \text{Sinon si } \sigma_i \text{ est une face de } \sigma_j \end{array} \right\} \Rightarrow i < j$$

L'ordre total est déduit de cet indiçage.

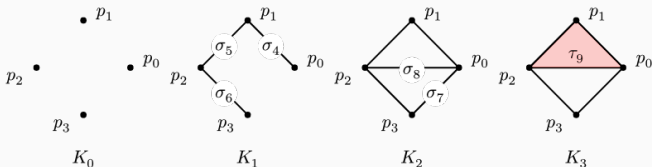
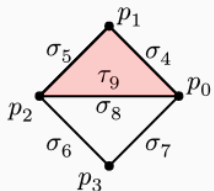


Figure 8: Indiçage de la filtration

Préparatif de l'algorithme (2/2): Matrice de bordure



	4	5	6	7	8	9
0	1			1	1	
1	1	1				
2		1	1		1	
3			1	1		
4						1
5						1
6						
7						
8						1
low	1	2	3	3	2	8

Figure 9: Exemple de matrice de bordure B associé à un ordre total

Algorithme Standard($B \in M_n(\{0, 1\})$)

```
for j allant de 0 a n-1:  
    while (il existe i < j avec low[i] = low[j]):  
        ajouter colonne i de B a colonne j modulo 2
```

Compréhension du résultat en sortie

	4	5	6	7	8	9
0	1			1	1	
1	1	1				
2		1	1		1	
3			1	1		
4						1
5						1
6						
7						
8						1
low	1	2	3	3	2	8

	4	5	6	7	8	9
0	1					
1	1	1				
2		1	1			
3			1			
4						1
5						1
6						
7						
8						1
low	1	2	3	-1	-1	8

Figure 10: Matrice B et réduite \bar{B}

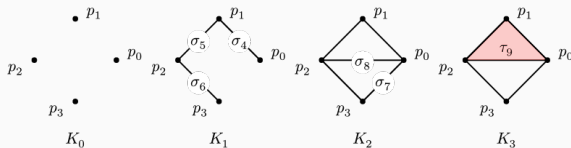


Figure 11: Filtration et utilisée

Remarques à l'initiative de la recherche d'optimisation :

- La matrice est creuse ;
- L'opération de somme de colonnes laisse invariante tous les simplexes de dimension différente.

Modifications apportées :

- Représentation de la matrice en liste d'adjacence (double liste chaînée ordonnée) ;
- Application de l'algorithme sur des matrices extraites et non la totale.

Algorithme Standard optimisé($B \in M_n(\{0,1\})$)

```
dims <- Tableau des simplexes ou dims[i] contient la
      liste des simplexes de dimension i
for toute dimension d a considerer:
  for chaque simplexe j de dims[d]
    while (il existe i dans dims[d] tel que low[j]
          = low[i]):
      ajouter colonne i de B a colonne j modulo
      2
```

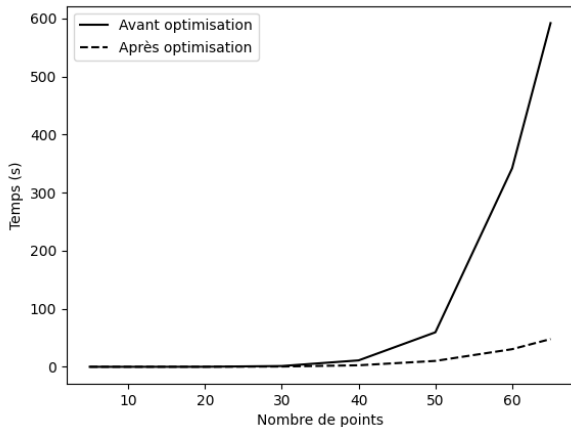


Figure 12: Ordonnée linéaire

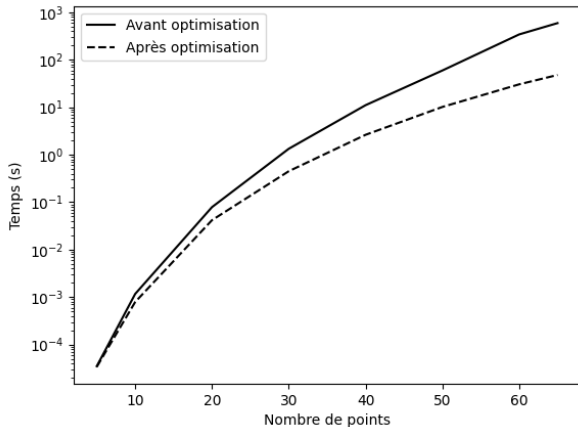


Figure 13: Ordonnée logarithmique

Résultats

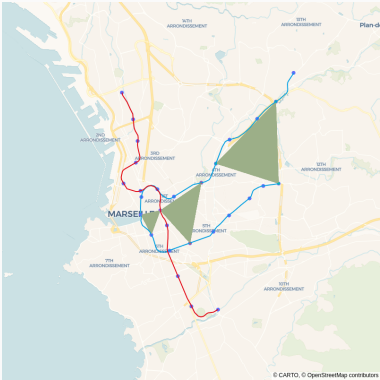


Figure 14: Marseille



Figure 15: Toulouse

Annexe : Définition

Complexe de chaînes

On définit un *complexe de chaînes* comme la donnée d'une suite

$$\dots \xrightarrow{\delta_{k+2}} C_{k+1} \xrightarrow{\delta_{k+1}} C_k \xrightarrow{\delta_k} C_{k-1} \xrightarrow{\delta_{k-1}} \dots$$

Où chaque C_k est un groupe abélien libre qui a pour base les k -simplexes de X et δ_k est un morphisme de groupes tel que $\delta_k \circ \delta_{k+1} = 0$

On appelle δ_k un *opérateur de bords*.

Classes d'homologies H_k

On définit alors les *classes d'homologie de dimension k* comme le groupe de $\text{Ker}(\delta_k)$ quotienté par $\text{Im}(\delta_{k+1})$:

$$H_k = \text{Ker}(\delta_k) / \text{Im}(\delta_{k+1})$$

Annexe : Théorème des facteurs invariants

Il existe un unique ensemble d_1, \dots, d_p d'éléments de H_k définis à des inversibles près, tel que :

$$H_k(X) \simeq \bigoplus_{i=1}^p P_k(X)/d_i P_k(X)$$

en notant $P_k(X)$ l'ensemble des parties à $k + 1$ éléments de X , formant donc un complexe simplicial constitué uniquement de k -simplexes. Cet ensemble est appelé *code barre* de H_k .

Annexe : Diagrammes de persistance

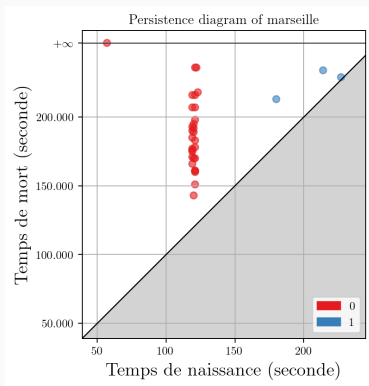


Figure 16: Diagramme de persistance de Marseille

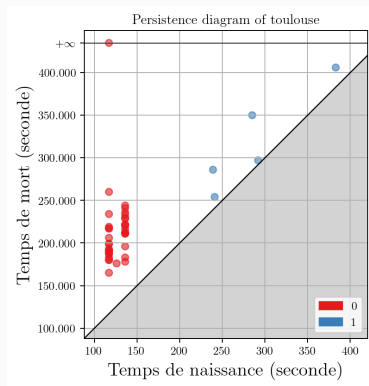


Figure 17: Diagramme de persistance de Toulouse

Annexe : Récupération des données

Pour le calcul des temps de trajet : apidocs.geoapify.com

Pour la récupération des stations et des temps d'attentes moyens :
transport.data.gouv.fr